

九州大学 工学部 正員 小坪清真  
九州大学 工学部 学生員〇石井和夫

### I まえがき

近年、構造物は大型化・長大化の傾向にある。殊に現在計画中の本州四国連絡橋の基礎として、多柱基礎やケーラン基礎等が考えられている。構造物の耐震性を考える場合、基礎が重要な役割を果たしている。その耐震性の検討は、我が国のように地震多発地帯に属し、軟弱な地盤が多く、その中に基礎が構築される可能性が多い国では重要な問題である。地震時において、構造物周辺地盤の歪は、1%に達する事もあるといわれている。このような歪に対して、土は非線型的挙動を示し、構造物は明らかに非線型的応答を示すことになる。従来、基礎構造物の耐震設計には、線型な地盤反力係数を用い、等価な減衰定数を仮定してやる方法が用いられてきたが、最近では、履歴復元力を考慮して、地盤反力係数・減衰定数を求めようとする研究がなされてきている。一般に、構造物周辺地盤の土のテストピースは比較的容易に得られ、三軸試験やセン断試験により、その応力-歪特性が明らかにされる。本論文では、このようにして得られた応力-歪曲線より、ケーランの復元力を調べようとするものであり、ケーランを2次元的に理想化し、有限要素法を用いて、各要素にはテストピースより得られた応力-歪特性を与える。復元力の2次元的なヒステリシスループを求め、しがらみを、それをケーランの長手方向に積分してケーランの復元力特性を得ようとするものである。この復元力特性が求まれば、これを用いてケーランの非線型応答計算を行なうことが可能となる。

### II 解析方法

図-1に示すような有限要素分割を考える。直徑15cmの円筒ケーランを考え、その境界は、図に示すとく長辺125cm・短辺75cmとした。境界条件として節点5~12にx方向自由なローラーを取り付け、節点13, 23~25は、完全固定とした。

土のテストピースの実験結果の代わりに図-2に示すような、 $\sigma_1 - \epsilon_1$ の関係を用い、これを各要素の応力-歪曲線とした。この曲線は応力を歪の関数とし、最良の項式で近似した。解析手順としては、まず、ケーラン部分にある節点1~4に微小な変位を与え、各要素の応力と歪を有限要素法で計算した。次に、その歪に対するヤング率を図-2より求め、それを各要素の新しいヤング率とし、変位を増加させて、再び応力と歪を計算した。これを繰り返して2次元歪問題を各歪レベルに対して逐次、解いていった。このようにして得られた履歴曲線からケーランのロッキングによる変位に対応した反力を読み取り、それをケーラン長手方向に積分して復元力を得た。また、ロッキングによる復元モーメントも、反力にロッキングセンターよりの距離を乘じてケーラン長手方向に積分して得られた。

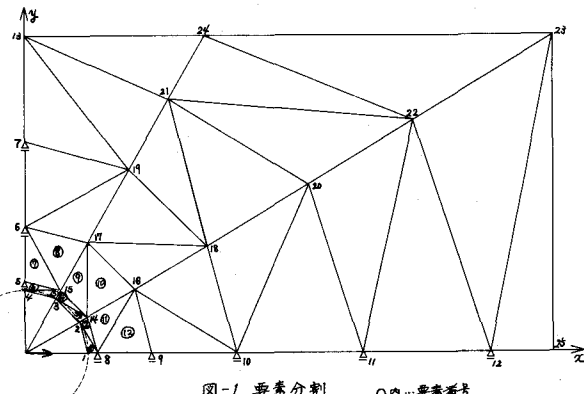


図-1 要素分割 ○内…要素番号

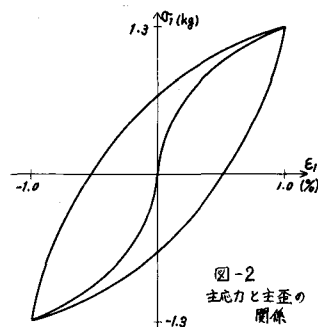


図-2  
主応力と主歪の  
関係

### III 有限要素法の精度

精度をチェックするため、2次元弾性論厳密解との比較を行なった。

2次元弾性論は、応力・寸法を図-3のようく定義すると次のように表わせる。

$$\frac{\sigma_r \cdot Y_0}{G} \Big|_{r=r_0} = -\frac{6(\xi_0^2 + 1)}{4(\xi_0^2 + 1) \log e^{\xi_0} - (\xi_0^2 - 1)} \cos \theta$$

$$\frac{T_{\theta r} \cdot Y_0}{G} \Big|_{r=r_0} = \frac{6 \xi_0^2}{4(\xi_0^2 + 1) \log e^{\xi_0} - (\xi_0^2 - 1)} \sin \theta$$

$$\sigma_x = \sigma_r \cos \theta + T_{\theta r} \sin \theta$$

式中、記号は

$$G: 土の剛性率 \quad \xi_0 = R_0 / Y_0$$

図-1に示した要素分割で要素1～6の弾性応力の分布を図-4に示した。

表-1には、 $\sigma_x$ によってケーソン側面に働く反力の合力が示されている。この合力(復元力)は、二次元弾性論による解より、やや大きめにござり、分布も、まだ誤差があるようである。今後、要素の分割法と要素数について精度の検討を行ないたい。

### IV 解析結果

図-5に弾塑性解析の $\sigma_x$ の分布を示す。

図-6は二次元面内で要素1～6の応力 $\sigma_x$ の合力を縦軸に、ケーソンの変位を横軸にして示した。図-7(a)に示すように、ケーソン底面上O点をロッキングセンターとし、角度 $\theta$ だけ回転させて、その側面反力による復元モーメントを計算し、側面反力分布を図-7(b)に、復元モーメントと回転角の関係を図-7(c)に示した。

図-6に示した反力に比べて、図-7の復元モーメントの方が塑性の影響が小さい。これは、ケーソン底部の変位が小さいため塑性が弱いてこないからである。

図-6, 7は、小さな変位に対して示されたものであるが、ヒステリシスループについては、目下計算中である。

### 参考文献

土と構造物の動的相互作用(土質学会)

有限要素法による構造解析プログラム (三本木茂夫/吉村信敏 日本国際構造学会)

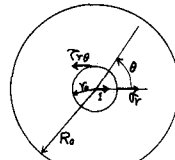


図-3 円形領域地盤内のケーソン

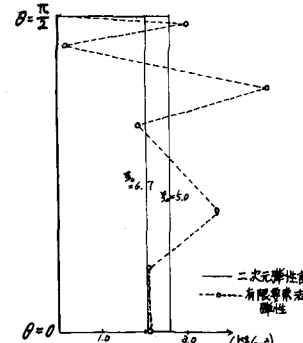


図-4 ケーソン表面 $\sigma_x$ の分布  
( $0 \leq \theta \leq \frac{\pi}{2}$ )

		反力
二 次 元 弾 性 論	$\xi_0 = 5.0$	1.530 kg
厳 密 解	$\xi_0 = 6.7$	1.278 kg
有 限 要 素 法 32	要素内 応力和	1.621 kg
	節点 反力和	2.758 kg

表-1 ケーソン底面 0.001 cm  
による復元力

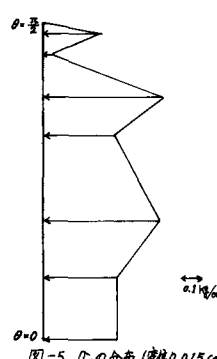


図-5  $\sigma_x$ の分布 (半径 0.015 cm)

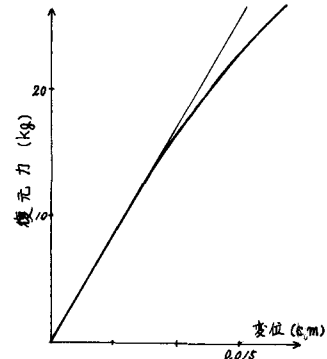


図-6 ケーソンの変位と復元力

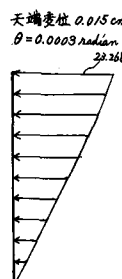
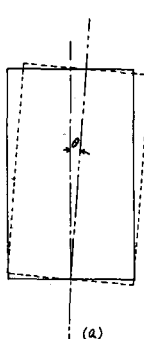


図-7

